网络出版时间: 2020 - 6 - 29 11:27 网络出版地址: https://kns.cnki.net/kcms/detail/34.1065. R. 20200629. 1110.022. html

桑葚水提物抑制 H, O, 诱导 BMSCs 成脂分化的研究

靳俊峰¹ 刘银花² 欧小波¹ 阮 媛¹ 王海青¹ 陈燕玲³ 吴秀香³ 易 华⁴

摘要 目的 探讨桑葚水提物对 H₂O₂ 诱导后大鼠骨髓间 充质干细胞(BMSCs) 成脂分化的影响,并初步探讨其机制。 方法 流式细胞术鉴定分离培养的大鼠 BMSCs; 真空冷冻干 燥法制备桑葚水提物,CCK-8 法检测桑葚水提物(15、30、60 mg/L) 对 BMSCs 生长的影响; 油红 O 染色显示桑葚水提物 (15、30、60 mg/L) 对 100 µmol/L H,O, 诱导培养的 BMSCs 成脂分化的影响; 免疫荧光、Western blot 检测 60 mg/L 桑葚 水提物作用于 H₂O₂ 诱导后 BMSCs 中过氧化物酶体增殖物 激活受体 γ(PPARγ) 和 CCAAT/增强子结合蛋白 α(C/ EBPα) 表达的影响。结果 不同浓度桑葚水提物对 BMSCs 生长无影响 各组间差异无统计学意义(P>0.05)。桑葚水 提物可抑制 H₂O₂ 诱导后 BMSCs 中脂滴生成 足现一定的浓 度依赖趋势,差异有统计学意义(P<0.01)。免疫荧光、 Western blot 结果表明 60 mg/L 桑葚水提物可抑制 PPARγ和 $C/EBP\alpha$ 的表达 ,与模型组相比 ,差异有统计学意义(P <0.05)。结论 桑葚水提物可通过抑制 PPARγ 和 C/EBPα 减少 H₂O₂ 诱导的 BMSCs 成脂分化。

关键词 桑葚水提物; H_2O_2 ; BMSCs; 成脂分化; PPAR γ ; $C/EBP\alpha$

中图分类号 R 285.5

文献标志码 A 文章编号 1000 - 1492(2020) 07 - 1098 - 05 doi: 10.19405/j. cnki. issn1000 - 1492.2020.07.022

骨髓间充质干细胞(bone marrow mesenchymal stem cells ,BMSCs) 在适当的条件下可分化为骨细胞、软骨细胞、脂肪细胞等 ,参与组织的修复和再生^[1-2]。但机体衰老、氧化应激、雌激素缺乏可削弱BMSCs 的定向分化能力 ,并促使其向脂肪细胞分化 ,体内脂肪累积则会引发代谢综合征^[3-4]。近年来研究表明天然药物小分子可抑制低浓度 H₂O₂ 引

2020 - 04 - 01 接收

基金项目: 国家自然科学基金(编号: 81403202); 广东省医学科研基金项目(编号: A2012620)

作者单位: 遵义医科大学珠海校区¹ 病理学教研室、² 生物医药研发中心、³ 病理生理学教研室、珠海 519041

⁴广州中医药大学基础医学院病理学教研室,广州 510006

作者简介: 靳俊峰 男 副教授 硕士;

易 华 女 副教授 硕士生导师 责任作者: E-mail: yingy-ing020@ gzuem. edu. cn

起的 BMSCs 成脂分化 $^{[5-6]}$ 。从中医角度讲 ,BMSCs 属于 "肾" ,是补肾中药作用的一个重要的靶细胞。桑葚是一味重要的补肾中药 $^{[7]}$,但桑葚是否能抑制氧化损伤引起的 BMSCs 成脂分化并不清楚。该文研究了桑葚水提物对低浓度 H_2O_2 引起的 BMSCs 成脂分化的影响 将有助于从现代生物学角度阐释桑葚的补肾功效。

1 材料与方法

- 1.1 实验动物 SPF 级 SD 雄性大鼠 4 周龄 ,体质量 $60 \sim 80$ g 购自广州中医药大学实验动物中心 动物许可证号: SCXK(粤) 2013-0034 ,质量合格证号: 44005900002468。室温饲养(22 ± 1) 。所有动物实验程序符合《广州中医药大学实验动物伦理委员会章程》。
- 1.2 试剂与药物 DMEM 低糖培养基、胎牛血清 (fetal bovine serum ,FBS)、油红 O 工作液(美国 Abcam 公司); CCK-8 试剂盒(LG689)(上海东仁化学科技有限公司); 抗 CD29-FITC、CD44-FITC、CD45-PE-Cy5.5 和 CD90-PE 流式抗体(美国 Abcam 公司); Annexin V-FITC/PI 凋亡检测试剂盒(杭州联科生物技术股份有限公司); 桑葚(广州杏园春药房); Triton X-100(广州健阳生物科技有限公司); 抗 过氧化物酶体增殖物激活受体γ(peroxisome proliferatiors-activated receptors, PPARγ)(H-100)、抗-CCAAT/强子结合蛋白α(CCAAT enhancer binding proteins ,C/EBPα)(D-5)(美国 Santa Cruz 公司); Alexa Fluor 555 标记驴抗兔 IgG、4′,6-二脒基-2-苯基吲哚(DAPI)(上海碧云天生物技术有限公司)。
- 1.3 主要仪器 SHZ-D(III)循环水式真空泵(巩义市予华仪器有限责任公司);旋转蒸发器 RE52C(上海亚荣生化仪器厂);FD系列冷冻干燥机 FD-1A-50(上海汉诺仪器有限公司);PerkinElmer EnSpire 多功能酶标仪(上海珀金埃尔默管理有限公司);流式细胞仪(BD Accuri C-5)。
- 1.4 检测指标与方法
- 1.4.1 流式细胞术鉴定 BMSCs 颈椎脱位法处死 大鼠 分离股骨 暴露骨髓腔 ,DMEM 低糖培养基吹

- 1.4.2 真空冷冻干燥法制备桑葚水提物 称桑葚 10.659 8 g 加 200 ml 双蒸水 煮沸 30 min。布氏漏 斗减压抽滤 旋转蒸发器将滤液分离。冷冻干燥机 -53.4 ℃、-20 MPa 抽真空 冷冻干燥 称量。
- 1.4.3 CCK-8 检测桑葚水提物对 BMSCs 生长的影响 P3 代 BMSCs 以 1×10^4 /ml 接种于 96 孔板 ,加 $100~\mu$ l BMSCs 悬液 培养。24 h 弃培养基 ,分组: 正常对照组(DMEM 低糖培养基培养)、桑葚水提物(15、30、60 mg/L),空白对照组调零 ,每组 5 个复孔。24 h 弃培养基 ,加 CCK-8 工作液 $10~\mu$ l ,培养 1~h~检测。
- 1.4.4 油红 O 染色检测及半定量分析 P3 代 BM-SCs 以 1×10^4 /ml 接种于有无菌圆载玻片的 24 孔板 培养。PBS 配 $100~\mu$ mol/L 的 H_2O_2 诱导液 作用 1~h。分为 H_2O_2 模型组、桑葚水提物(15~30~60~mg / L) 组 ,正常培养的 BMSCs 为对照组。4% 多聚甲醛 固定 30~min; 洗 $3~\chi$,每孔加入 $500~\mu$ l 油红 0~T作液 25~min 后 60~% 异丙醇洗 $1~\chi$,双蒸水洗 $3~\chi$; 苏木精染色 15~s ,水洗 $3~\chi$,封片。随机选取 5~个高倍视野 ,计数阳性细胞 统计学处理。
- 1. 4. 5 免疫荧光检测 PPARγ和 C/EBPα的表达 P3 代 BMSCs 以 1×10^4 /ml 接种 100 μl 于有无菌圆载玻片的 24 孔板 ,分为对照组、 H_2O_2 模型组、桑葚水提物(60 mg/L) 组。细胞接近长满 4% 多聚甲醛固定 30 min。PBS 洗 3 次。0.3% Triton X-100 室温 30 min ,洗 3 次 5% BSA 封闭 30 min ,弃封闭液 加 I抗 PPARγ(1:100)、C/EBPα(1:100) 4 $^{\, {\rm C}}$ 解育过夜 洗 3 次 $\times 5$ min/次 加 II 抗 Alexa Fluor 555 标记的驴抗兔 1 IgG(1:200) 避光孵育 30 min ,洗 3 次 , DAPI(1:100) 3 min。洗 3 次 ,封片 3 及 替代 I抗作为阴性对照。
- 1.4.6 Western blot 检测 PPAR γ 和 C/EBP α P3 代 BMSCs 以 1×10^4 /ml 接种 1 ml 于 6 孔板 ,分对照组、 H_2O_2 模型组、桑葚水提物(60 mg/L) 组。细胞接近长满后预冷 PBS 洗 2 遍 ,加入裂解液(RIPA:

PMSF = 100: 1) . 收集细胞 ,冰上裂解 30 min ,超声 5 min ,12 000 r/min 离心 10 min ,取上清液 ,CA 蛋白定量将样品浓度调整一致后煮沸。蛋白 30 ~ 50 μ g 电泳; 转 PVDF 膜 ,封闭 2. 5 h ,I 抗 4 ℃ 过夜; TBST 洗 6 次 ,II 抗孵育 1 h; TBST 洗 6 次 ,曝光 ,Image J 软件分析 统计学处理。

1.5 统计学处理 所有数据采用 SPSS 23.0 统计软件分析 实验结果用 $\bar{x} \pm s$ 表示 ,多组间差异采用 One-way ANOVA 分析 P < 0.05 为差异有统计学意义。

2 结果

- 2.1 BMSCs 形态学观察及鉴定 原代细胞 24 h 贴壁 图 1A 显示 ,P1 代呈长梭形 ,早期混杂有杂细胞 换液、传代去除 图 1B 显示 P3 代已较纯。流式细胞术图 1C 显示 ,高表达 CD44(99. 20%)、CD29(99. 02%)和 CD90(99. 94%),低表达 CD45(6.41%)。
- **2.2** 桑葚水提物对正常 BMSCs 生长的影响 称量桑葚10.659~8~g ,真空、低温、冷冻、干燥得桑葚水提物6.262~6~g ,提取率 58.75%。高、中、低剂量 (15、30、60~mg/L) 作用于 BMSCs 24~h 酶标仪检测 ,统计学处理 表 1~u 显示 ,15、30、60~mg/L 桑葚水提物对 BMSCs 的生长与正常对照组 BMSCs 生长相比差异无统计学意义(P>0.05)。

表 1 桑葚水提物对大鼠 BMSCs 生长的影响(n=5 $\bar{x} \pm s$)

组别	剂量 (mg/L)	吸光度值	F 值	P 值
正常对照	-	2.346 8 ± 0.143 0	0.6120	0.617 0
桑葚水提物低剂量	15	2.2800 ± 0.0833		
桑葚水提物中剂量	30	2.3440 ± 0.0839		
桑葚水提物高剂量	60	2.287 6 ± 0.085 0		

2.3 桑葚水提物对 H_2O_2 刺激后 BMSCs 成脂分化的影响 油红 O 染色将脂肪染成深红色。图 2 显示 对照组染色阴性;模型组较多深红色阳性产物; 15 mg/L 桑葚水提物组脂滴生成无影响; 30 mg/L 桑葚水提物组脂滴减少; 60 mg/L 桑葚水提物组抑制脂滴生成。

计数各组阳性细胞数 图 3 统计学分析显示: 模型组与正常对照组差异有统计学意义(P < 0.01),模型组与 15 mg/L 组差异无统计学意义(P > 0.05),这两组与 30、60 mg/L 两组相比 差异均有统计学意义(P < 0.05);30 mg/L 组与 60 mg/L 组差异有统计学意义(P < 0.05),60 mg/L 桑葚水提物

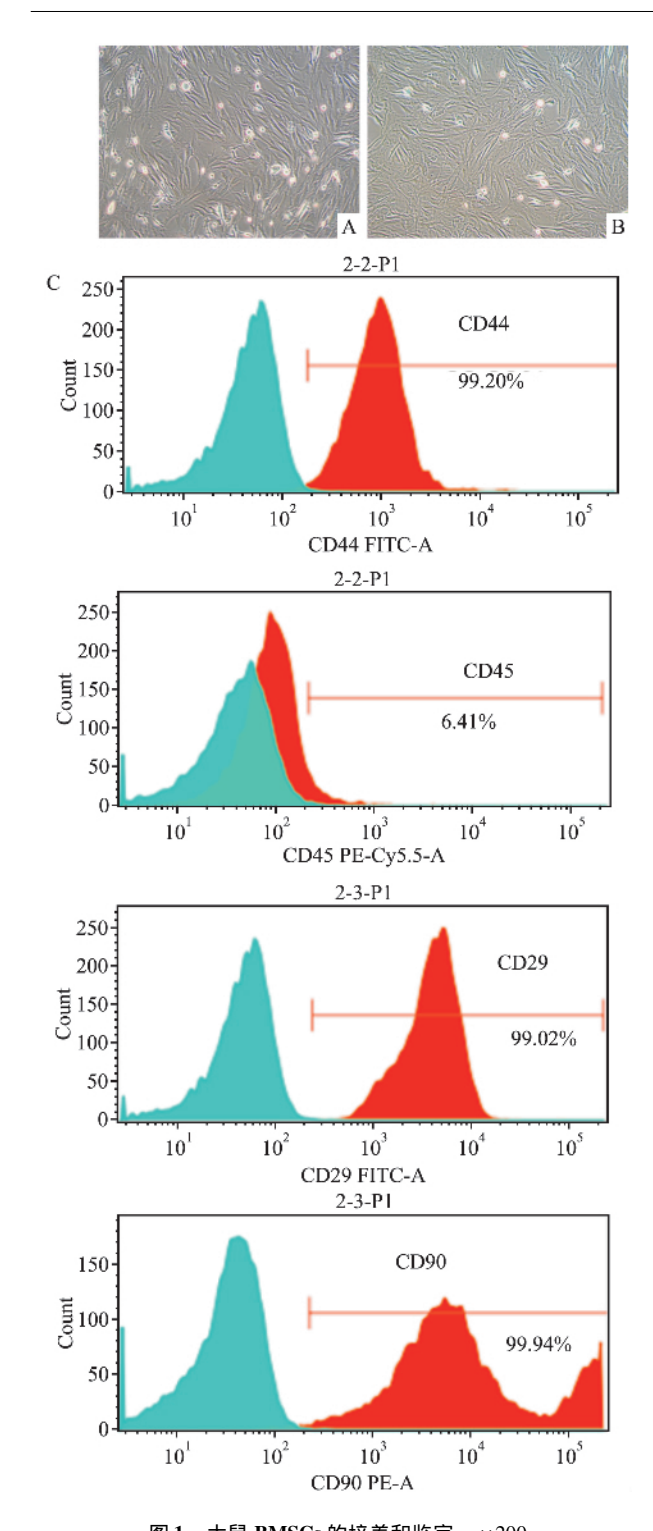


图 1 大鼠 BMSCs 的培养和鉴定 ×200 A: 原代培养大鼠 BMSCs; B: P3 代大鼠 BMSCs; C: 流式细胞术鉴定 P3 代细胞

对成脂分化抑制作用最大 "后续实验均采用此浓度。 **2.4** 桑葚水提物对 H_2O_2 刺激后 BMSCs 胞质内 PPAR γ 和 C/EBP α 表达的影响 图 4 显示 "PPAR γ 和 C/EBP α 阳性产物呈红色 ,对照组 PPAR γ 和 C/EBP α 无表达 ,模型组表达 ,60 mg/L桑葚水提物组

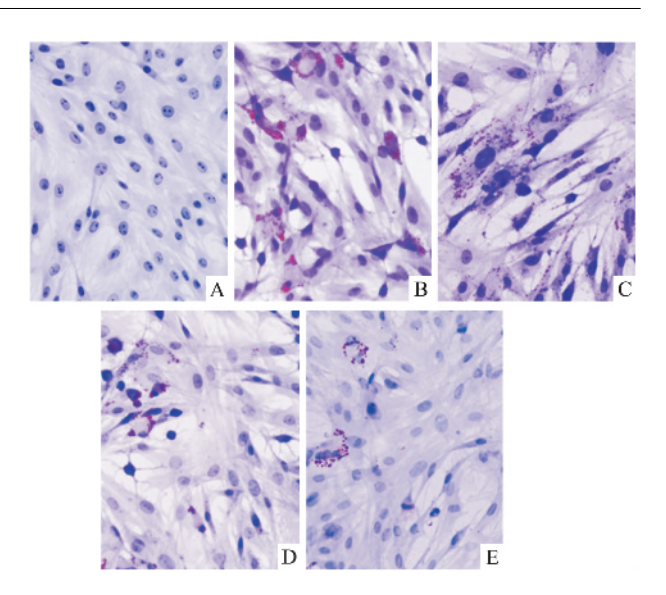


图 2 桑葚水提物抑制 H_2O_2 刺激后 BMSCs 成脂分化油红 O 染色 $\times 400$

A: 正常对照组; B: 模型组; C: 15 mg/L 组; D: 30 mg/L 组; E: 60 mg/L 组

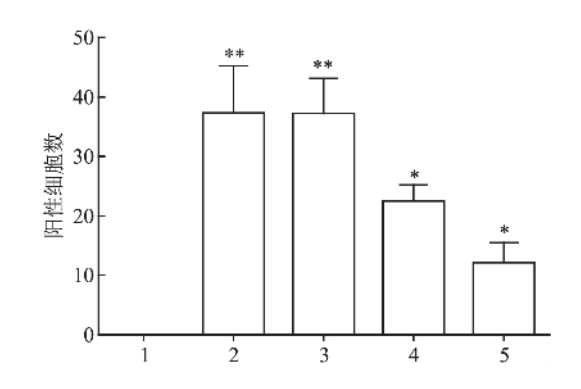


图 3 桑葚水提物减少 H_2O_2 刺激后 BMSCs 成脂分化细胞数 1: 正常对照组; 2: 模型组; 3: 15 mg/L 组; 4: 30 mg/L 组; 5: 60 mg/L 组; 与正常对照组比较: * P < 0.05 , ** P < 0.01

表达减少。图 5 显示 ,Western blot 结果与上述结果 具有一致性 模型组与 60~mg/L 桑葚水提物组相比 , PPAR γ 和 C/EBP α 表达差异均有统计学意义(P < 0.05)。

3 讨论

真空冷冻干燥是利用升华的原理使物质脱水的一种干燥技术。该方法所得的活性成分含量与新鲜样品最接近^[8]。本研究将桑葚水提物进行真空冷冻干燥。最大程度的保留了桑葚的有效成分。提取率较高。本课题组前期使用高效液相色谱分析表明,桑葚水提物中含有5种黄酮类化合物(桑色素、芦丁、紫云英苷、异槲皮素、木犀草素)和2种非黄酮类化合物(绿原酸、桑橙素)。这7个化合物分子骨

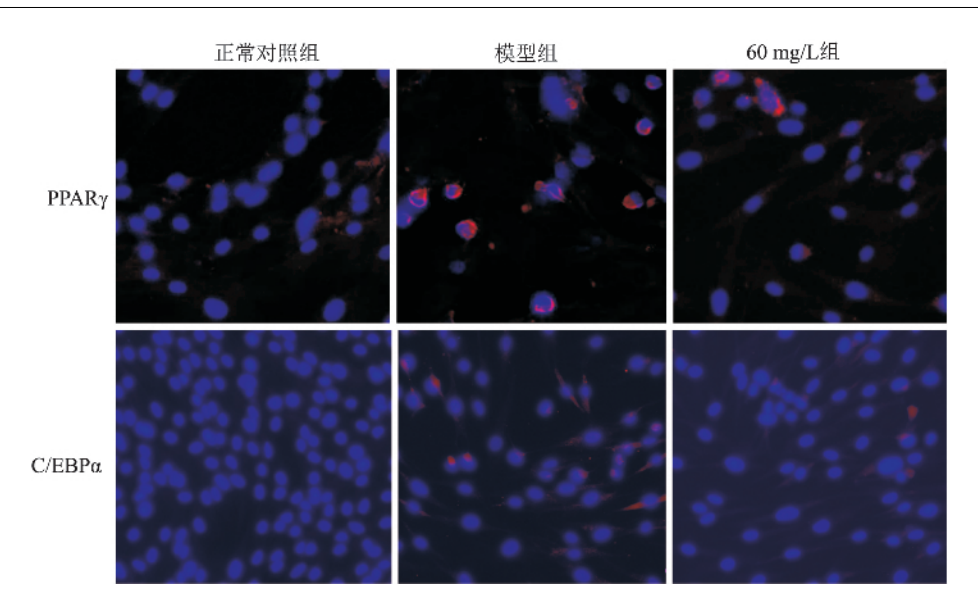


图 4 免疫荧光检测各组 PPARγ和 C/EBPα的表达 ×400

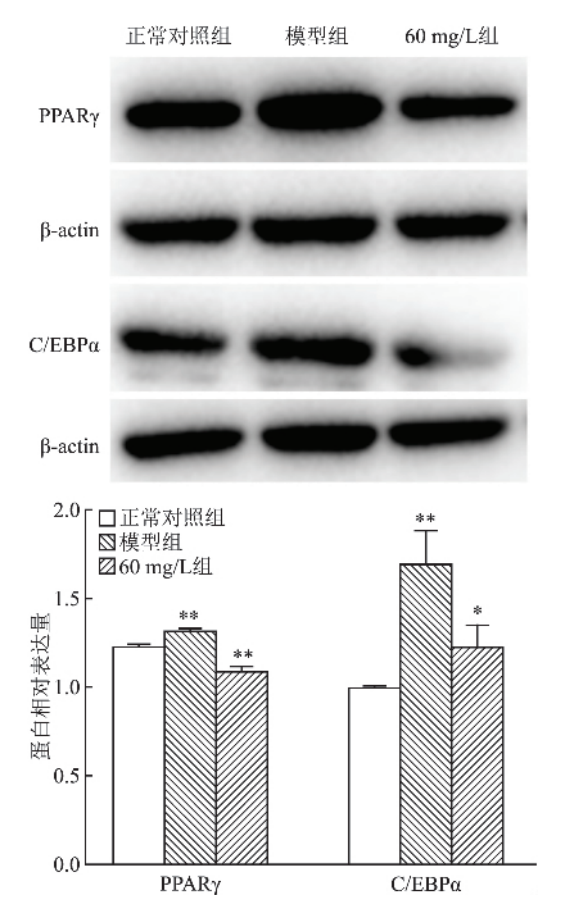


图 5 Western blot 法检测各组 PPAR γ 和 C/EBP α 的表达水平与正常对照比较: * P < 0.05, ** P < 0.01

架不尽相同,但都含有酚羟基,其中,芦丁、紫云英苷、异槲皮素、木犀草素、绿原酸、桑橙素含有强抗氧化活性的邻二酚羟基结构,而邻二酚羟基被认为是细胞保护作用的重要来源^[9],本结果说明上述桑葚水提物中的主要有效成分协同发挥调节作用,实现

对·OH 损伤的间充质干细胞保护作用,这与本课题组前期的研究[10]结果是一致的。

氧化应激可使细胞产生大量的自由基 ,过量自由基会导致细胞衰老、癌变或功能异常。本实验中使用的细胞是全骨髓法获取的 BMSCs ,P3 代细胞经流式细胞术检测显示 ,已经较为纯化 ,可用于后续实验 ,与文献 $^{[11]}$ 报道相一致。本项目组前期发现 $^{[10]}$ 从 $^{[10]}$ 从 $^{[11]}$ 报道相一致。本项目组前期发现 $^{[10]}$ 制 ,但可促进细胞成脂分化 $^{[12]}$,本实验继续采用这种低浓度 $^{[12]}$,本实验继续采用这种低浓度的增加 ,其对 $^{[12]}$,本实验结果显示 ,随着桑葚水提物浓度的增加 ,其对 $^{[12]}$,可以 ,桑葚水提物对氧化损伤的 $^{[12]}$,可见 ,桑葚水提物对氧化损伤的 $^{[12]}$ 的 $^{[12]}$,有助于维持 $^{[12]}$ 的 $^{[12]}$ 的 $^{[12]}$,有助于维持 $^{[12]}$ 的 $^{[12]}$,有助于维持 $^{[12]}$ 的 $^{[12]}$,有助于维持 $^{[12]}$ 的 $^{[12]}$ 。

PPARγ 和 C/EBPα 是细胞成脂分化的两个关键转录因子 ,目前的研究 $^{[13-14]}$ 显示 ,PPARγ 和 C/EBPα 可通过协同作用来影响 3T3-L1 前脂肪细胞向脂肪细胞的分化 ,有报道 $^{[6-7]}$ 显示 ,芥子碱、白术内酯 $^{\text{III}}$ 、穿心莲内酯等中药有效成分可通过抑制 PPARγ 和 C/EBPα 的表达抑制 H_2O_2 诱导后 BMSCs 中脂滴形成。本研究结果显示 ,正常 BMSCs 中PPARγ 和 C/EBPα 无表达 , H_2O_2 刺激后 BMSCs 中PPARγ 和 C/EBPα 的表达均增加 60 mg/L 桑葚水提物则可抑制模型细胞中 PPARγ 和 C/EBPα 的表达 与文献报道具有一致性,提示桑葚水提物可通过抑制 PPARγ 和 C/EBPα 的协同表达抑制 H_2O_2 诱导

后 BMSCs 成脂分化。

综上所述 桑葚水提物对正常的 BMSCs 生长并无影响 对 H_2O_2 损伤的 BMSCs 有保护作用 ,可通过抑制 $PPAR\gamma$ 和 $C/EBP\alpha$ 的表达而减少 H_2O_2 诱导后 BMSCs 内脂滴的生成 ,有助于维持 BMSCs 的干细胞特性 ,本研究结果从现代生物学的角度阐释了补肾中药桑葚对其靶细胞 BMSCs 的调控。

参考文献

- [1] 于丽娜,张文轩,于 洋,等.伴放线放线杆菌对人骨髓间充质干细胞增殖和成骨分化的影响[J].实用医学杂志,2016,32(17)):2813-6.
- [2] 郭子仪,王淑霞,吴 梅,等. BMMSCs 与 DPCs 共培养体系 在异位体内牙髓再生中的应用[J]. 基因组学与应用生物学, 2018,37(2):505-12.
- [3] Meyer M B, Benkusky N A, Sen B, et al. Epigenetic plasticity drives adipogenic and osteogenic differentiation of marrow-derived mesenchymal stem cells [J]. J Biol Chem, 2016, 291 (34): 17829-47.
- [4] Wang C, Meng H, Wang X, et al. Differentiation of bone marrow mesenchymal stem cells in osteoblasts and adipocytes and its role in treatment of osteoporosis [J]. Med Sci Monit, 2016, 22: 226 – 33.
- [5] 黄炜平 ,李 可 ,刘爱军 ,等. 芥子碱对 H_2O_2 诱导 BMSCs 成 脂分化的影响 [J]. 中国病理生理杂志 , 2018 , 34(5) : 918 24.

- [6] 李 可,黄炜平,徐光镇,等.白术内酯Ⅲ对大鼠骨髓间充质 干细胞成脂分化的抑制作用[J].中药新药与临床药理, 2018,29(3):285-90.
- [7] 李吉莹,冯 利. 桑葚的研究开发概况[J]. 湖北成人教育学院学报,2016,22(5):33-5.
- [8] 郑艳萍 潘艳琼 秦昆明 等. 不同干燥方式对杜仲叶 4 种活性 成分含量的影响 [J]. 中国药房, 2017, 28(28): 3973-6.
- [9] Xie H , Li X , Ren Z , et al. Antioxidant and cytoprotective effects of tibetan tea and its phenolic components [J]. Molecules , 2018 , 23(2):179.
- [10] Jiang Q, Li X, Tian Y, et al. Lyophilized aqueous extracts of mori fructus and mori ramulus protect mesenchymal stem cells from OH-treated damage: Bioassay and antioxidant mechanism [J].
 BMC Complement Altern Med, 2017, 17(1): 242.
- [11] 周 年 刘 波 徐 彭. 大鼠骨髓间充质干细胞的分离培养 和分化能力鉴定[J]. 江西中医药,2018,49(425):34-6,52.
- [12] Huang W P , Li K , Liu A J , et al. miR-330-5p inhibits H_2O_2 -induced adipogenic differentiation of MSCs by regulating RXR γ [J]. Int J Mol Med ,2018 ,42(4): 2042 –52.
- [13] Chen J, Bao C, Kim J T, et al. Sulforaphene inhibits adipogenesis via Hedgehog signaling in 3T3-L1 adipocytes [J]. J Agric Food Chem, 2018, 66(45): 11926-34.
- [14] 李吉萍,张文友,孙婷婷,等. 板蓝根水提物对3T3-L1 前脂肪细胞增殖和分化的影响[J]. 中国药理学通报,2017,33(8):1159-64.

The aqueous extracts of mulberry inhibited adipogenic differentiation of BMSCs induced by H₂ O₂

Jin Junfeng¹, Liu Yinhua², Ou Xiaobo¹, et al

(Dept of Pathology Biological Medicine R&D Center Zhuhai Campus Zunyi Medical University , Zhuhai 519041)

Abstract *Objective* To investigate the effect of the aqueous extracts of mulberry on adipogenic differentiation of bone marrow mesenchymal stem cells(BMSCs) stimulated by H_2O_2 . *Methods* BMSCs were isolated from the bone marrow of rats and identified by flow cytometry. The aqueous extracts of mulberry were prepared by vacuum freezedrying. CCK-8 method was performed to detect the toxicity of mulberry aqueous extract (15, 30, 60 mg/L) to BMSCs. Oil red O staining was used to identify the lipid droplets. Immunofluorescence and Western blot were used to detect the expression of PPARγ and C/EBPα in BMSCs treated by the aqueous extracts of mulberry (15, 30, 60 mg/L). *Results* CCK-8 assay showed that the aqueous extracts of mulberry did not affect the growth of BMSCs (P > 0.05). Oil red O staining showed that the aqueous extracts of mulberry inhibited the formation of lipid droplets in BMSCs induced by H_2O_2 , showing a dose-effect relationship (P < 0.01). The aqueous extracts of mulberry (60 mg/L) significantly inhibited the expression of PPARγ and C/EBPα in BMSCs stimulated by H_2O_2 (P < 0.05). *Conclusion* The aqueous extracts of mulberry can inhibit the adipogenic differentiation of BMSCs induced by H_2O_2 trough PPARγ and C/EBPα signaling pathway.

Key words the aqueous extracts of mulberry; H₂O₂; BMSCs; adipogenic differentiation; PPARγ; C/EBPα